

信州大学工学部 正員 寒川典昭
 京都大学防災研究所 正員 地滑同一
 京都大学工学部 正員 高橋琢馬

1. 序論 われわれは長期流出現象が時間的・量的に不確定な運動機構であることを着目して、それに Shannon の情報理論の概念を適用してみた。本研究は、それら従来の研究を重視し、流出系に「獲得情報量最大仮説」を置くことをより、流出機構の内部構造にまで立ち入って、流出状態間の遷移構造を確率的に表現しようとするものである。

2. 貯留状態の遷移 長期流出系の状態遷移を单纯マルコフ過程とみなす、時間上における有効降雨、流出量、流出系の内部状態(具体的には流域の貯留状態)を R_t , Q_t , S_t とする。降雨・流出量接過程(2.1)式のように表記される。 (2.1) 式の左の式は(2.2)式の連続式から評価することができるが、問題は(2.1)式の右の式の状態移動である。

$$Q_t = f(R_t, S_t), \quad S_{t+1} = g(R_t, S_t) \quad \cdots (2.1), \quad Q_t = S_t + R_t - S_{t+1} \quad \cdots (2.2)$$

$= = 1 =$, $f(\cdot)$, $g(\cdot)$: 任意関数。本研究では状態遷移を評価するためには流出系に獲得情報量最大仮説を置く。

3. 獲得情報量の数量的表現 獲得情報量はサンプル空間 X , Y 上で定義する。

$$I = H(x) + H(y) - H(x,y) = H(x) - H_y(x) = H(y) - H_x(y) \quad \cdots (3.1)$$

を表記される。 $= = 1 =$, $H(x)$, $H(y)$ はエントロピー、 $H(x,y)$ は相互エントロピー、 $H_x(y)$ は条件エントロピーである。いま、各の定量化がはせられていないとする。その期間内の貯留状態の運動に関する獲得情報量は次式で表現される。

$$I = - \sum_j P_j \cdot \ln P_j + \sum_{ij} P_i \cdot Q_{ij} \cdot P_{ij}(j) \cdot \ln P_{ij}(j) \quad \cdots (3.2)$$

$= = 1 =$, Q_{ij} は $R_t=0$ なる降雨確率、 P_{ij} は $S_t=i$ なる状態確率、 $P_{ij}(j)$ は $S_t=i$, $R_t=0$ なる条件のエントロピーである。さて、流出系に獲得情報量最大仮説を置くことによってあるから(3.2)式は最大 $I=33$ 遷移確率を求める。

$$P_{ij}(j) = P_j \quad \cdots (3.3)$$

となり、不合理な現象説明となるため、われわれは特性値を導入する。それをいは l_{ij0} を表すと単位特性値あたりの獲得情報量は

$$I' = \frac{- \sum_j P_j \cdot \ln P_j + \sum_{ij} P_i \cdot Q_{ij} \cdot P_{ij}(j) \cdot \ln P_{ij}(j)}{\sum_{ij} P_i \cdot Q_{ij} \cdot P_{ij}(j) \cdot l_{ij0}} \quad \cdots (3.4)$$

で与えられる。

4. 獲得情報量最大仮説に基づく状態遷移確率の算定

4.1. 原理解 (3.4)式は最大 $I=33$ 状態遷移を以下 4 通りの規格化条件の下で評価する。

$$\sum_j P_j \cdot Q_{ij} \cdot P_{ij}(j) = P_j \quad \cdots (4.1), \quad \sum_i P_i = 1 \quad \text{あるいは} \quad \sum_j P_j = 1 \quad \cdots (4.2) \quad \sum_i Q_{ij} = 1 \quad \cdots (4.3) \quad \sum_j P_{ij}(j) = 1 \quad \cdots (4.4)$$

P_i , $P_{oi}(j)$ は未知変量であり, Q_{oi} も流域内の面積降雨確率と看なれば決定すべき未知変量である。これが一種の最適化問題であり, Lagrange の未定乗数法で解がれる。すなわち $P_{oi}(j)$ は(4.5)式で与えられ, それには含まれる V_j は(4.6)式から決定される。

$$P_{oi}(j) = \frac{V_j \cdot \exp(C \cdot l_{ij}^{\alpha})}{\sum_j V_j \cdot \exp(C \cdot l_{ij}^{\alpha})} \quad \dots (4.5), \quad V_j \cdot \sum_i \left\{ \frac{P_i \cdot Q_{oi} \cdot \exp(C \cdot l_{ij}^{\alpha})}{\sum_j V_j \cdot \exp(C \cdot l_{ij}^{\alpha})} \right\} = P_j \quad \dots (4.6)$$

$i = 1, C = \max I'$

4.2. 近似解 (4.5), (4.6) 式から $P_{oi}(j)$ を計算するには Iteration 法を取らねばならず多くの計算時間と要る。でも、この方法の問題点を抱えていたため、次に近似解を提案する。1つめの近似解はすでに提案 1 で³⁾あるが、2つめは、さらには精度を高めるより下り(4.4)式を

$$\sum_i P_i \cdot Q_{oi} \cdot P_{oi}(j) = Q_{oi} \quad \dots (4.7), \quad \sum_j P_j \cdot \sum_i P_i \cdot Q_{oi} \cdot P_{oi}(j) = P_i \quad \dots (4.8)$$

左の制約条件で代入すれば近似解を Lagrange の未定乗数法で求めると(4.9)式となる。この式に含まれる \bar{W} は(4.10)式から、 \bar{W} は(4.11)式の最大の正実根として決定される。

$$P_{oi}(j) = \frac{Q_{oi}}{P_i} \cdot \bar{W}^{l_{ij}^{\alpha}} \quad \dots (4.9), \quad \sum_j P_j \left\{ P_i \cdot Q_{oi} \cdot \bar{W}^{l_{ij}^{\alpha}} - S_{ij} \right\} = 0 \quad \dots (4.10), \quad \left| \sum_j P_j \cdot Q_{oi} \cdot \bar{W}^{l_{ij}^{\alpha}} - S_{ij} \right| = 0 \quad \dots (4.11)$$

5. 実流域への適用と考察 Fig. 1 は(2.2)式における $R_t = 0$ の期間を取り出し、流量の自然消滅曲線の同様な作図方法で得た貯留量の自然消滅曲線の概況図である。この曲線において、貯留状態 E_i にかかる降雨が作用して E_j へ貯留状態に移る確率を $P_{is}(j)$ とし、 E_i から E_j へ貯留状態に遷移するのに要する時間を $t_{ij}s$ とする、特性値 l_{ij}^{α} は次式で定義される。

$$l_{ij}^{\alpha} = \frac{10}{t_{ij}s} \quad \dots (5.1)$$

この特性値を使つて由良川流域某地点で $P_{is}(j)$ を評価したものうち、 E_1 から E_j へ状態への遷移確率を記載したのが Table 1 である。他の初期状態からの遷移状況も算討すれば、理論値と実測値は全状態にわたり、かなりよく一致するといふことができる。

6. 結語 本研究により流出系は「確率情報量最大仮説」を置き得ることが明らかにされた。今後、これらのモデルを他の流域に適用するににより、その適用性および透明の限界性を確かめることも、才4章で提示した厳密解を実流域に適用できることを改善を加えて考慮している。

参考文献

- 1) 在川之ほか、高柳、地質、寒川；降雨・流出変換システムのエントロピー的解釈、昭和55年工木学会関西支部年譲、昭和55年6月。
- 2) 高柳、地質、寒川；エントロピー的にみた降雨・流出変換特性とのモデル化、京大防災年報第23号、昭和55年4月。
- 3) 高柳、地質、寒川；長期流出のエントロピー・モデル、才5回工木学会年譲、昭和55年9月。

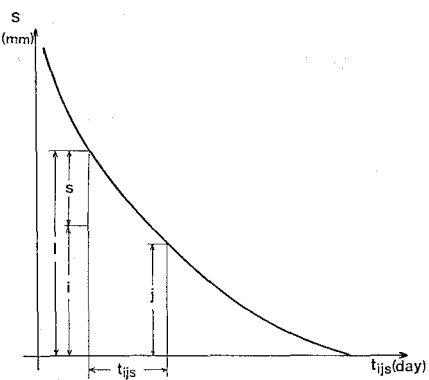


Fig. 1 Schematic view of natural recession curve.

Table 1 Transition probability of runoff states, $P_{is}(j)$, in the case of E_1 , where the upper and the lower value of each blocks represent the calculated and the observed value, respectively.

R_s	E_1	E_2	E_3	E_4	E_5	...	E_{12}
R_1	1.000 1.000						
R_2	1.000 0.625	0.375					
R_3	0.031 0.500	0.967 0.500					
R_4	0.031 1.000	0.969 1.000					
R_5	0.002 0.031	0.968 1.000					
R_6		0.005 0.072	0.345 0.577				